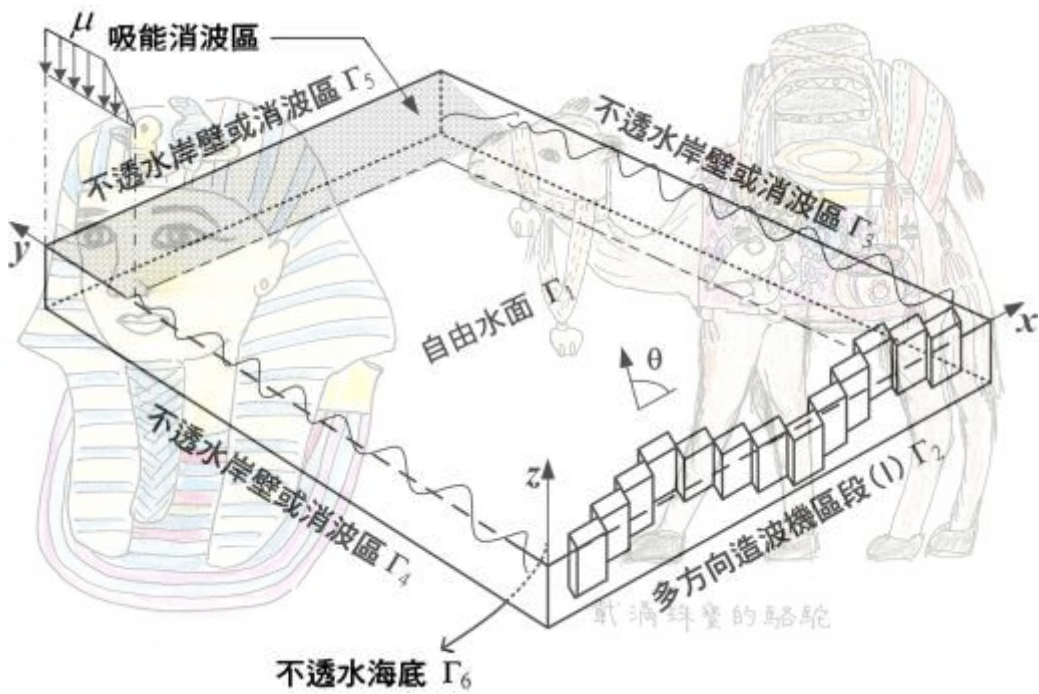


直線型活塞式造波板蛇型造波機造波方程式



直線型活塞式造波板蛇型造波機

2011 埃及尼羅河之旅

如上圖, N 塊活塞式造波板蛇型造波板運動速度 $U(j, t)$, ($j=1, 2, \dots, N$)如下:

1. 簡諧波

$$U(j, t) = a\alpha\sigma \sin(\sigma t - kjw_B \cos \theta_B)$$

$$\alpha = \frac{\sinh kh \cosh kh + kh}{2 \sinh^2 kh}$$

θ_B =造波方向(以 x 軸為基準)

a=造波振幅

$\alpha = \theta_B$ 板修正係數

$\sigma = \text{造波角頻率} (=2\pi/T, T=\text{造波週期})$

k=造波波數

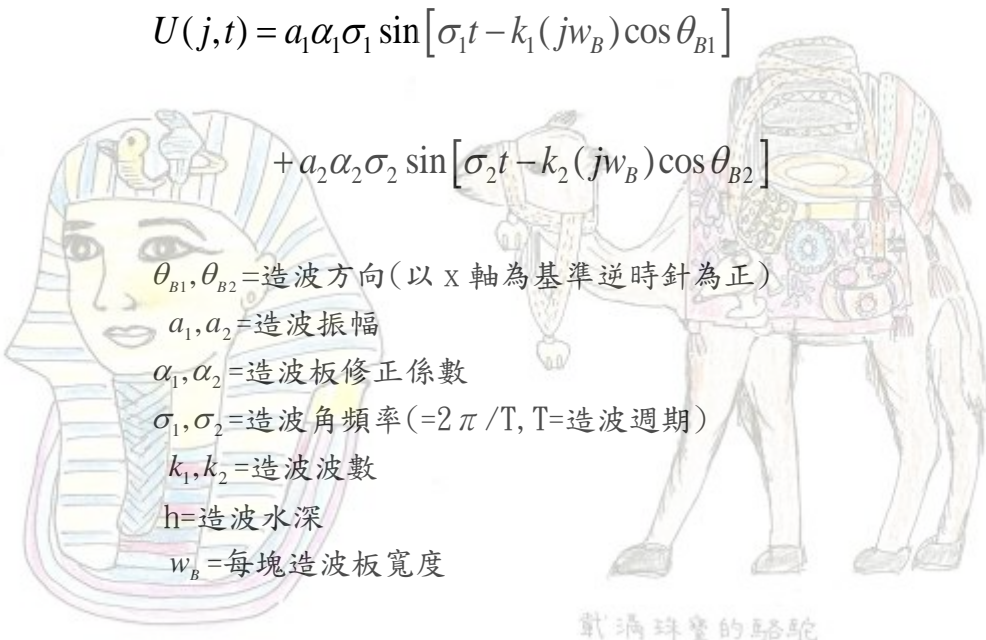
h=造波水深

w_B =每塊造波板寬度



阿拉丁神燈

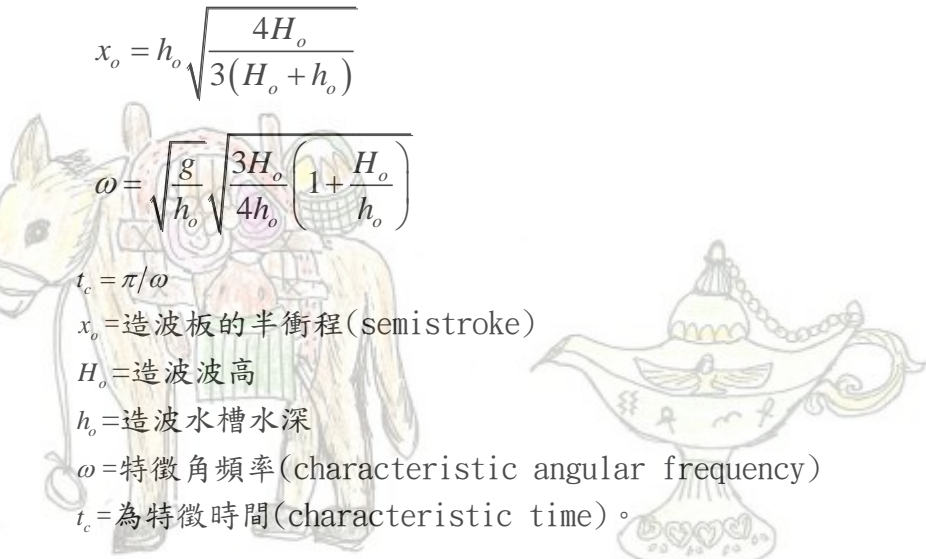
2. 短峰波



3. 孤立波

$$U(j,t) = x_0 \omega \sec h^2 \omega (t - t_c - jw_B \cos \theta_B)$$

2011 埃及尼羅河之旅



4. 單方向不規則波

的驢子

模擬造波波譜為 $S(f)$ 時，造波板運動速度 $U(j, t)$ 為

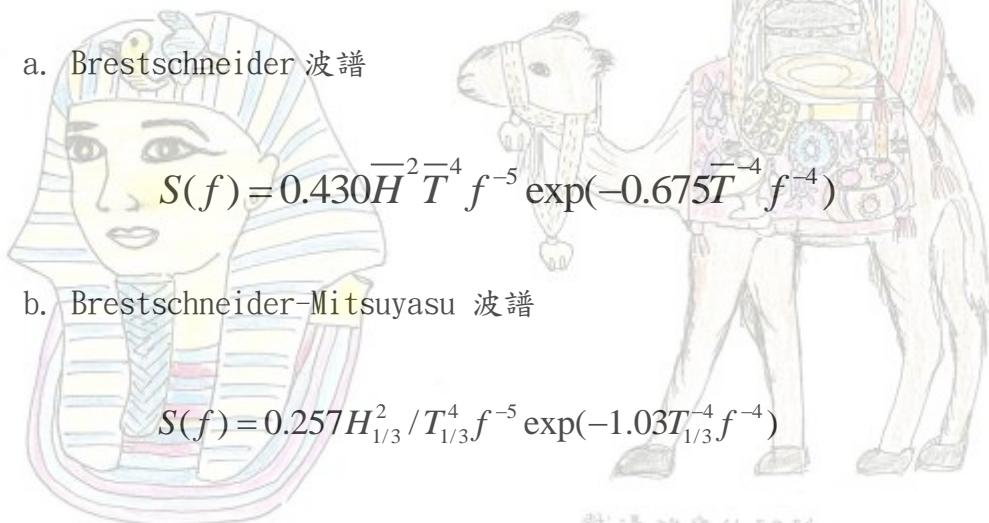
$$U(j,t) = \sum_{n=1}^{\infty} \sqrt{2df S(f_n)} \sigma_n \cos[\sigma_n t - k_n(jw_B) \cos \theta_B - \varepsilon_n]$$

$$\sigma_n = 2\pi f_n$$

k_n = 造波波數

ε_n = 界於 0 與 2π 間之隨機變數。

a. Brestsneider 波譜



b. Brestsneider-Mitsuyasu 波譜

$$S(f) = 0.257 H_{1/3}^2 / T_{1/3}^4 f^{-5} \exp(-1.03 T_{1/3}^{-4} f^{-4})$$

$H_{1/3}$ 及 $T_{1/3}$ 為欲模擬造波波譜的有義波高及週期。

c. JONSWAP 波譜

2011 埃及尼羅河之旅

$$S(f) = \alpha (2\pi)^{-4} g^2 f^{-5} \exp\left[-\frac{5}{4}\left(\frac{f}{f_p}\right)^{-4}\right] \gamma \exp\left[-\left(\frac{f/f_p - 1}{2\sigma}\right)^2/2\sigma^2\right]$$



5. 多方向不規則波

模擬造波頻率波譜為 $S(f)$ ，能量方向分佈函數 $h(\theta, f)$ 為

載滿貨品的驢子

$$h(\theta, f) = \left[\int_{\theta_{\min}}^{\theta_{\max}} \cos^{2S} \left(\frac{\theta}{2} \right) d\theta \right]^{-1} \cos^{2S} \left(\frac{\theta}{2} \right)$$

$$= \left[\frac{1}{\pi} 2^{2S-1} \frac{\Gamma^2(S+1)}{\Gamma(2S+1)} \right] \cos^{2S} \left(\frac{\theta}{2} \right)$$

$$S = \begin{cases} S_{\max} (f / f_p)^5 & f \leq f_p \\ S_{\max} (f / f_p)^{-2.5} & f > f_p \end{cases}$$

S 為方向集中度參數， S_{\max} 表示波浪方向分佈最大集中度， f_p 為波譜頂點頻率。

$S_{\max} = 10$ ，風波
 $= 25$ ，衰減距離較短湧浪
 $= 75$ ，衰減距離較長湧浪

造波板運動速度 $U(j, t)$ 為

$$U(j, t) = \sum_{n=1}^{\infty} \sqrt{2df S(f_n)} \sigma_n \cos[\sigma_n t - k_n(jw_B) \cos \theta_{f_n} - \varepsilon_n]$$

載滿珠寶的駱駝

$$\theta_{f_n} = h(\theta, f_n)$$

2011 埃及尼羅河之旅

[回邊界元素法](#) [回分類索引](#) [回海洋工作站](#)



載滿貨品的驢子



阿拉丁神燈